

Механика материалов: прочность, ресурс, безопасность

УДК 620.178.3:539.4:621.773.9

ЭФФЕКТЫ УПРУГОПЛАСТИЧЕСКОГО ДЕФОРМИРОВАНИЯ И ПОЛЗУЧЕСТИ В РЕЗЬБОВЫХ СОЕДИНЕНИЯХ

© Н. А. Махутов, В. В. Зацаринный¹

Статья поступила 6 мая 2014 г.

Показана специфика условий нагружения ответственных резьбовых соединений энергетического оборудования. Рассмотрены подходы к определению их напряженно-деформированных состояний, обусловленные перераспределением напряжений и деформаций в витках резьбы при статическом и малоцикловом нагружении. Представлена методика экспериментальных исследований пластических деформаций и деформаций ползучести шпилек при нормальной температуре, позволяющая определить уменьшение затяга в шпильках.

Ключевые слова: резьбовое соединение; статическое и циклическое нагружение; упругопластическое деформирование; ползучесть; потеря затяга.

Узлы разъемных соединений современных высоконагруженных конструкций (атомных энергоустановок, летательных аппаратов, сосудов давления) отличаются спецификой конструктивных форм, технологий и методов изготовления, условий эксплуатации и применяемых материалов. Для несущих элементов этих разъемных соединений характерны однократные и повторные местные пластические деформации, приводящие к сложному перераспределению напряжений и деформаций в витках резьбы при нагружении и к накоплению малоцикловых повреждений [1].

При работе резьбовые соединения, кроме силы предварительной затяжки, воспринимают как основные растягивающие нагрузки от осевой силы, температурных деформаций деталей машин, так и сдвигющие и изгибающие нагрузки. Изгибающие нагрузки в резьбовом соединении могут быть вызваны перекосом опорных плоскостей затягиваемых деталей, несоосностью деталей сборки, а также их упругими переменными деформациями в процессе работы. Крутящие нагрузки в резьбовом соединении появляются при его затяжке в результате трения соприкасающихся витков гайки и шпильки.

Развитие деформаций и напряжений от этих нагрузок по мере накопления числа циклов, определяющее напряженно-деформированное состояние резьбовых соединений, зависит от уровня эксплуатационных нагрузок, циклических свойств материалов, максимальной температуры и длительности нагружений в цикле. В тех случаях, когда резьбовые соединения работают при повышенных и высоких температурах,

достаточных для возникновения деформации ползучести, при определении напряженно-деформированных состояний и расчетах прочности необходимо дополнительно учитывать температурно-временные зависимости нагрузления [1, 2].

Различные подходы к традиционным методам определения напряженно-деформированных состояний резьбовых и фланцевых соединений и расчетам на статическую и циклическую прочность при постоянных и переменных нагрузках в условиях нормальных, пониженных и повышенных температур изложены, например, в работах [1 – 5].

Обычно используемые в предварительном анализе приближенные методы расчетов по распределению нагрузки между витками резьбы основаны [3 – 5] на построении стержневой модели соединения, в основе которой лежит раздельное рассмотрение деформаций деталей и связей (в данном случае витков резьбы).

Уточненный расчет распределения локальных напряжений в точках шпильки (болта) может быть выполнен численными методами (например, МКЭ) или экспериментальными методами (метод фотоупругости). При этом должны быть учтены растягивающие, изгибающие и касательные напряжения в зонах концентрации (в первую очередь в основании первых нагруженных витков резьбы шпильки).

В качестве примера на рис. 1 [2] приведены результаты расчета с применением МКЭ распределения контактных напряжений на рабочих гранях витков и напряжений во впадинах витков. При расчете распределения напряжений в теле шпильки (болта), выполненном после решения контактной задачи, принимали, что резьба изготовлена идеально точно.

¹ Институт машиноведения им. А. А. Благонравова РАН, Москва, Россия; e-mail: v.zatsar@mail.ru

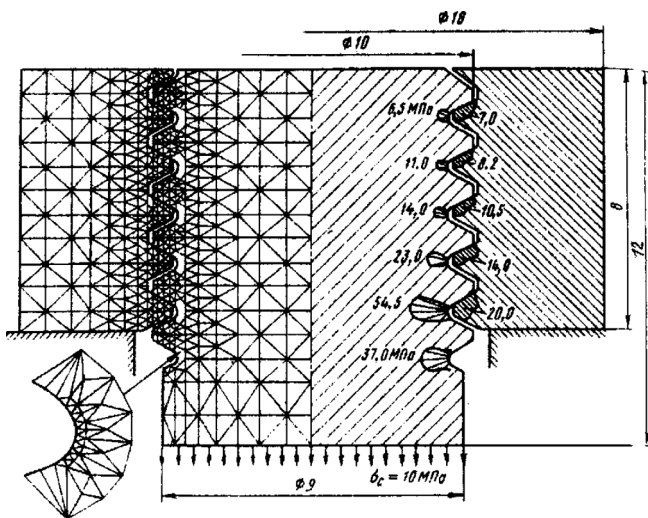


Рис. 1. Сеточная разметка и схема распределения напряжений в резьбовом соединении

Цифры на рис. 1 — наибольшие напряжения в МПа. Можно отметить, что контактные напряжения вдоль рабочих граней витков распределены неравномерно.

Видно, что в резьбовых соединениях отмечена существенная концентрация напряжений во впадинах резьбы. Наибольшее главное напряжение растяжения (суммарные напряжения) действует во впадине под первым (от опорного торца гайки) рабочим витком шпильки в точках сечения, отстоящего от центра (середины) впадины на угол около 20° в направлении рабочей поверхности этого витка (см. рис. 1). Это объясняется взаимным влиянием (наложением) концентрации напряжений от изгиба витка и напряжений растяжения стержня.

Таким образом, высокие общие действующие номинальные σ_{nmax} нагрузки и большие коэффициенты концентрации напряжений в основании витков резьбы вызывают появление зон наибольшей локальной напряженности σ_{kmax} , что приводит к появлению остаточных пластических деформаций в зоне витков резьбы. Указанное обстоятельство может вызвать развитие процессов ползучести при статическом и циклическом нагружении и, как следствие, понижение начальных напряжений затяжки резьбового соединения даже при комнатной температуре. Обычно релаксацию напряжений принято учитывать [2], начиная с температур t , равных 300 и 150 °C соответственно для конструкционных и легких сплавов.

С целью изучения эффектов упругопластического деформирования, а также оценки релаксации и ползучести в шпильках основного и фланцевого разъемов ответственных энергетических аппаратов (реактора ВВЭР-440 и парогенератора ПГ-І) были проведены специальные исследования сопротивления статическому и циклическому деформированию и разрушению на модельных соединениях (образцах) M24×1 (шпилька основного разъема из стали 25Х1МФ) и

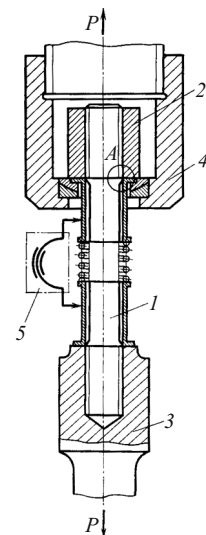


Рис. 2. Схема нагружения модели резьбового соединения: 1 — шпилька; 2 — гайка; 3 — фланец; 4 — нажимное кольцо; 5 — деформометр

M24×3 (шпилька фланцевого разъема из стали XH35ВТ) [1].

Исследование соединений шпилька — гайка, шпилька — корпус на указанных моделях проводили при комнатной температуре при осевом нагружении и коэффициентах асимметрии цикла номинальных напряжений r_{pr} , равных 0 (основной режим нагружения), +0,3 и +0,6.

Во всех испытаниях использовали гайку сжатия. Все резьбовые элементы крепежа изготавливали токением из соответствующих заготовок материалов. При этом радиус закругления впадин в резьбе шпилек по чертежу задавали не менее стандартной величины 0,144 от шага резьбы.

Во время испытаний моделей резьбовых соединений проводили непрерывную запись диаграмм деформирования. Схема измерения деформаций (удлинений) шпильки (ее гладкой и резьбовой частей) с помощью деформометра и специальной трубчатой конструкции показана на рис. 2. Одновременно до и в процессе испытаний периодически измеряли шаги резьбы (с разборкой соединения) для оценки процессов вытяжки, а также изменения шага за счет циклической наработки. При испытаниях оценивали статическую и циклическую прочность резьбовых соединений, а также релаксацию и ползучесть шпилек для определения степени потери затяга во время эксплуатации. Для этого осуществляли временную выдержку при различных значениях напряжений с одновременной фиксацией во времени деформаций ползучести.

На рис. 3 в координатах сила P — удлинение Δl в качестве примера представлены экспериментальные кривые статического растяжения (начальные участки) и нулевые ($k = 0$) кривые деформирования при последующем циклическом нагружении моделей шпилек основного разъема из стали 25Х1МФ (различными точками показаны результаты испытаний отдельных моделей).

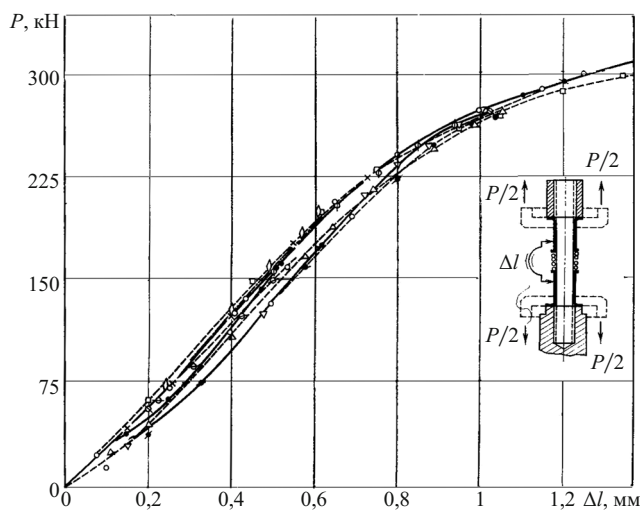


Рис. 3. Начальные участки кривых растяжения моделей шпилек

Результаты экспериментальной оценки деформаций и ползучести $\varepsilon_{\text{полз}}$ шпилек, имеющих место во время выдержек τ на различных уровнях максимальных номинальных напряжений σ_{\max} при статическом и циклическом нагружениях и определяющих уменьшение затяга в шпильках, представлены на рис. 4 и 5. Проведенные измерения (при 20 °C) деформаций шпилек во время выдержек при первоначальном затя-

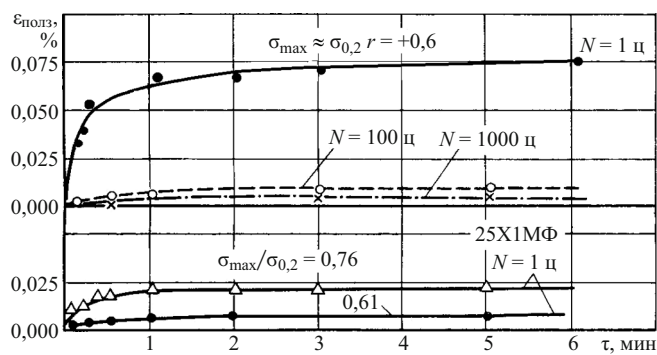


Рис. 4. Изменение деформаций ползучести в моделях шпилек при исходном статическом ($N = 1$ цикл) и циклическом нагружениях

ге ($N = 1$) показали наличие ползучести, начиная с уровней напряжений примерно $0,6 \sigma_{0,2}$. С увеличением номинальных напряжений до примерно $\sigma_{0,2}$ деформации ползучести возросли за время выдержки 6 мин в 7–8 раз, а за время выдержки 100 мин — в 12 раз и составили соответственно $0,075$ – $0,08$ и $0,12$ %.

На рис. 5, *a* показаны статическая диаграмма шпильки сила — удлинение — кривая кратковременного статического деформирования ($\tau_{\text{выд}} = 0$) и серия изохронных кривых статической ползучести для различных времен выдержек τ , равных 1, 10, 100 мин,

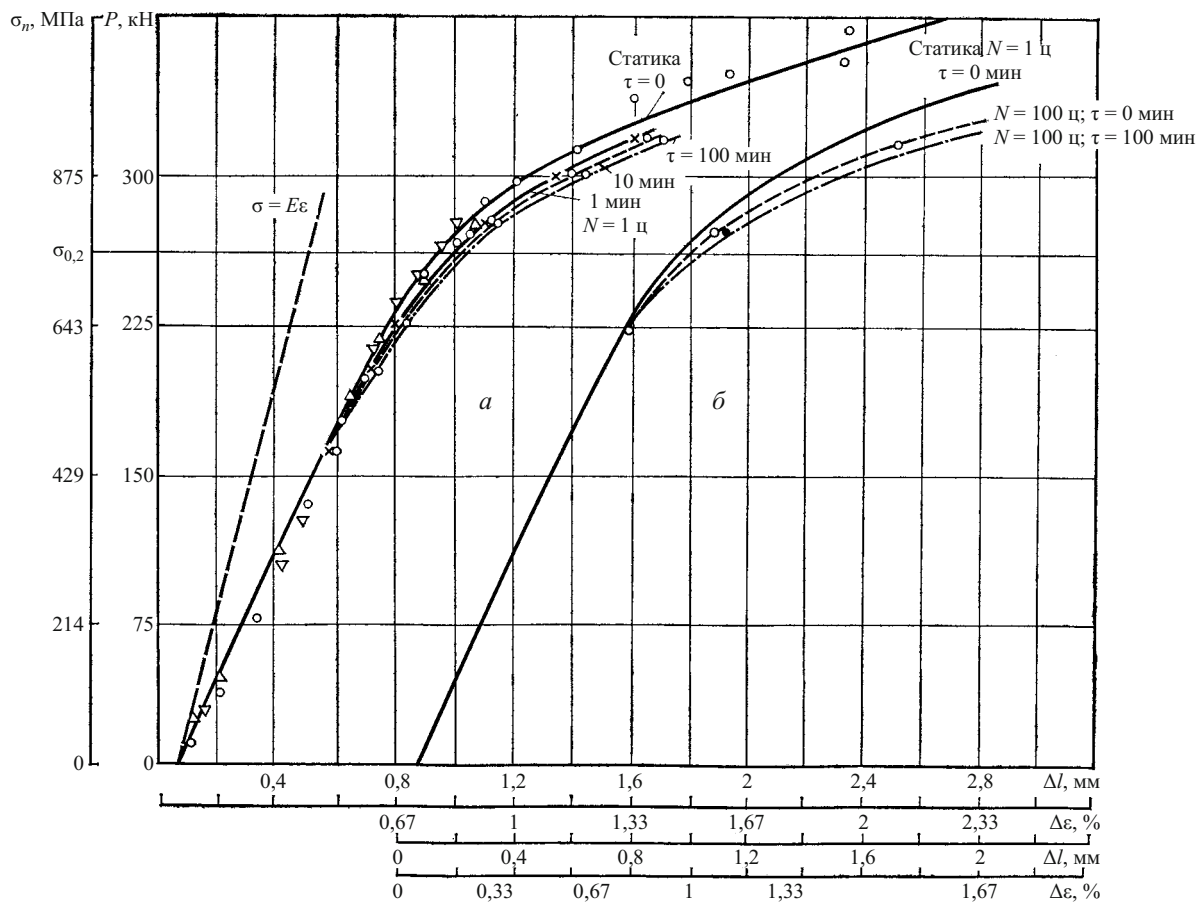


Рис. 5. Изохронные кривые деформирования моделей шпилек при статическом (а) и циклическом (б) нагружениях

при $N = 1$ цикл. На уровне предела текучести $\sigma_{0,2}$ релаксация напряжений за время 100 мин составляет примерно 6 % от напряжений первоначального затяга. Следует указать на существенное различие экспериментальных диаграмм растяжения моделей шпилек и диаграмм, полученных расчетом из предположения упругого деформирования шпильки ($\sigma = E\varepsilon$). Это различие обусловлено деформацией витков резьбы и зон контакта элементов резьбового соединения.

При циклическом нагружении процессы ползучести и релаксации резко замедляются (см. рис. 4 и 5, б). На рис. 4 показана накопленная во время выдержек деформация ползучести после 100 и 1000 циклов нагружения на уровне максимальных напряжений $\sigma_{\max} \approx \sigma_{0,2}$.

После указанных циклов нагружения на данном уровне напряжения деформация ползучести уменьшилась соответственно в 8 и 15 раз по сравнению с первым циклом за одно и то же время нагружения (6 мин).

На рис. 5, б для $N = 100$ циклов приведены изоциклическая и изохронная кривые циклического деформирования при наличии ползучести во время выдержки 100 мин. Переход к циклическому и временному деформированию дает дополнительную релаксацию напряжений на уровне $\sigma_{0,2}$ за счет как одностороннего циклического накопления перемещений, так и ползучести (~2 %).

С целью оценки деформационных свойств исследуемых шпилек основного и фланцевого разъемов при циклическом нагружении, а также выявления кинетики этих свойств во время испытаний фиксировали диаграмму деформирования шпильки, при обработке которой, кроме рассмотренной выше деформации ползучести, необходимой для оценки ползучести и релаксации напряжений в шпильке, получили ширину петли $\delta^{(k)}$, размах деформации в полуцикле $\varepsilon^{(k)}$, суммарную накопленную деформацию $\Sigma e^{(k)}$ и модуль разгрузки $g^{(k)}$ (рис. 6).

Результаты обработки петель циклического деформирования шпилек показали, что в течение нескольких десятков полуциклов происходит обмятие всех микронеровностей сопрягаемых деталей и самих витков резьбы. В течение последующего периода деформирования ширина петли $\delta^{(k)}$ для обоих видов шпилек и двух асимметрий цикла нагружения ($r = 0$

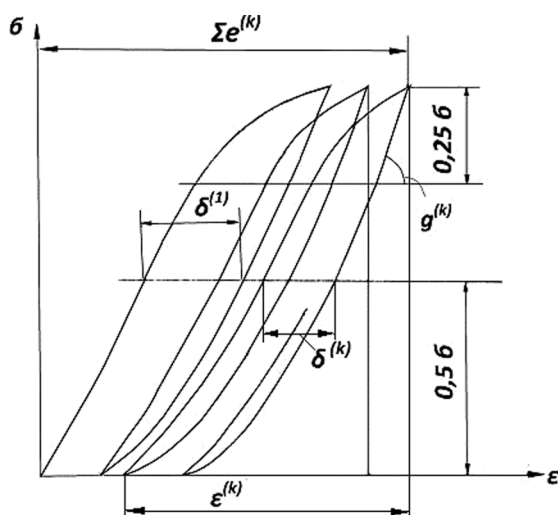


Рис. 6. Схема кинетики деформационных свойств шпилек во время испытаний

и $r = +0,3$), характеризующая необратимую пластическую деформацию в полуцикле остается практически постоянной вплоть до разрушения; перед самым разрушением ширина петли начинает резко возрастать, что связано с развитием трещин. Аналогичный характер изменения с числом полуциклов имеют размахи деформаций $\varepsilon^{(k)}$.

Из представленных на рис. 3 – 6 данных следует, что основные эффекты нелинейности перемещений в шпильках проявляются при исходном нагружении (выборке зазоров, обмятии микронеровностей, возникновении пластических деформаций во впадинах) при номинальных напряжениях до 0,5 – 0,6 от предела текучести. Это указывает на обоснованность многократной последовательной затяжки шпилек при монтаже. Возникновение нелинейных деформаций при дальнейшем увеличении номинальных напряжений (более 0,8 – 0,9 $\sigma_{0,2}$) связано в основном с пластическими деформациями во впадинах резьбы, при этом деформации в последующих циклах нагружения оказываются меньше, чем у гладкого лабораторного образца, что объясняется неоднородностью распределения пластической деформации в шпильке.

Дальнейшее циклическое упругопластическое деформирование шпилек при номинальных напряжениях до предела текучести $\sigma_{0,2}$ оказывается сравнитель-

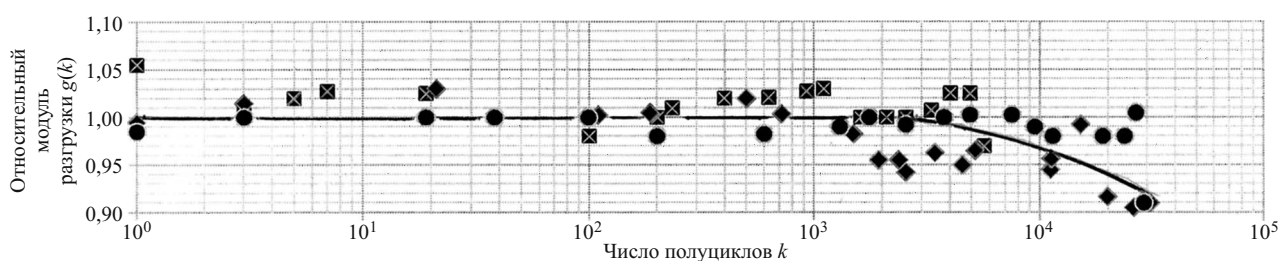


Рис. 7. Изменение относительного модуля разгрузки $\bar{g}(k)$ при деформировании шпильки из стали 25Х1МФ от числа полуциклов нагружения: ■ ◆ — $r = 0$; ● — $r = +0,3$

но устойчивым в смысле модуля разгрузки $g^{(k)}$. На рис. 7 в качестве примера показано сопротивление упругим перемещениям, характеризуемое относительным модулем разгрузки $\bar{g}(k) = g(k_i)/g(k_{20})$ (отнесенным к количеству полуциклов $k = 20$); по мере накопления числа циклов оно сохраняется примерно постоянным для моделей из стали 25Х1МФ или несколько снижается (на 5–10 %) на стадии образования трещин.

При этом сопротивление упругим и упругопластическим перемещениям до момента образования трещин получается выше, чем при исходном нагружении. Это говорит о сохранении усилий затяжки с учетом этих характеристик деформирования.

Несколько иной характер изменения имеет величина суммарной накопленной пластической деформации $\Sigma e^{(k)}$, когда в зависимости от уровня номинальных напряжений происходит одностороннее накопление перемещений. Для шпилек основного разъема при исходных уровнях нагружения, ниже или приближающихся к пределу текучести $\sigma_{0,2}$, величина этой деформации практически остается стабильной (и определяется вытяжкой при первых циклах нагружения) или имеет тенденцию к незначительному увеличению. При напряжениях, превышающих предел текучести $\sigma_{0,2}$, величина накопленной деформации шпилек реактора может непрерывно увеличиваться в среднем до 20 %.

Для шпилек фланцевого разъема в этом случае характерно сильное накопление деформаций в течение первых циклов деформирования и непосредственно перед разрушением (после образования трещины); в течение основного процесса деформирования пластические деформации накапливались незначительно. Одностороннее накопление деформаций при нагружении с заданными амплитудами нагрузок при наличии выдержек означает возможность циклического уменьшения усилий затяга в резьбовых соединениях. Ослабление усилий затяга в процессе эксплуатации конструкции может привести к разгерметизации конструкции и раскрытиюстыка, а также к увеличению доли переменной составляющей нагрузки, возникновению ударного нагружения шпильки при раскрытии стыка и ее разрушению.

Потеря усилий затяга в шпильках резко усиливается при развитии макротрещин по наиболее нагруженным виткам резьбы. На стадиях статического и циклического нагружения, не связанных с образованием макротрещин, сохраняется достаточная разборность резьбовых соединений.

Основные закономерности распределения усилий по виткам резьбы при однократном нагружении в упругой области рассмотрены в работах [2]. Появление пластических деформаций в наиболее нагруженных витках резьбы существенно влияет на перераспределение в них нагрузки. Измерение дефор-

маций, выполненное малобазными тензорезисторами, в специальных неглубоких пазах на нарезанной части шпилек, показало, что с переходом от упругой стадии деформирования витков к упругопластической происходит относительная разгрузка (до 20–30 %) в зоне первых наиболее напряженных витков. На характер перераспределения усилий по виткам резьбы, находящимся в сопряжении, также влияют протекающие процессы разрушения.

В связи с рассмотренными выше особенностями деформирования и разрушения резьбовых соединений, работающих обычно в широком диапазоне температур, важное значение может иметь также температурный фактор, способствующий возникновению дополнительных деформаций ползучести, снижению усилий предварительного затяга и накоплению длительных статических и циклических повреждений.

Таким образом, вопросы поцикловой и временной кинетики напряженных состояний резьбовых соединений остаются одними из наиболее сложных и требуют дальнейшего исследования. Это связано с выраженнымми эффектами концентрации напряжений, перераспределения усилий, напряжений и деформаций в наиболее нагруженных зонах резьбы за счет пластичности и ползучести, а также ранним образованием трещин усталости и большим их влиянием на условия нагружения повреждаемых витков.

ЛИТЕРАТУРА

1. Махутов Н. А., Воробьев А. З., Гаденин М. М., Зацаринский В. В. и др. Прочность конструкций при малоциклическом нагружении / Под ред. Н. А. Махутова, А. Н. Романова. — М.: Наука, 1983. — 271 с.
2. Биргер И. А., Иосилевич Г. Б. Резьбовые и фланцевые соединения. — М.: Машиностроение, 1990. — 368 с.
3. Нормы расчета на прочность оборудования и трубопроводов атомных энергетических установок (ПНАЭ Г-7-002-86. Правила и нормы в атомной энергетике). — М.: Энергатомиздат, 1989. — 525 с.
4. Прочность и ресурс водо-водяных энергетических реакторов / Под ред. А. Н. Романова. — М.: Наука, 1988. — 311 с.
5. Махутов Н. А. Конструкционная прочность, ресурс и технологическая безопасность. В двух частях. — Новосибирск: Наука, 2005. Ч. 1. Критерии прочности и ресурса. — 494 с. Ч. 2. Обоснование ресурса и безопасности. — 610 с.

REFERENCES

1. Makhutov N. A., Vorob'ev A. Z., Gadenin M. M., Zatsarinnyi V. V. et al. Prochnost' konstruktsii pri malotsiklovom nagruzhennii [The strength of structures under low-cycle loading] / N. A. Makhutov, A. N. Romanov (eds.). — Moscow: Nauka, 1983. — 271 p. [in Russian].
2. Birger I. A., Iosilevich G. B. Rez'bovye i flantsevye soedineniya [Threaded and flanged connections]. — Moscow: Mashinostroenie, 1990. — 368 p. [in Russian].
3. Normy rascheta na prochnost' oborudovaniya i truboprovodov atomnykh energeticheskikh ustanovok (PNAE G-7-002-86. Pravila i normy v atomnoi energetike) [The norms for calculating the strength of the equipment and pipelines of nuclear power

- plants (PNAE G-7-002-86. Rules and regulations in the nuclear industry]). — Moscow: Energoatomizdat, 1989. — 525 p. [in Russian].
4. Prochnost' i resurs vodo-vodyanykh energeticheskikh reaktorov [Strength and resource of VVER] / A. N. Romanov (ed.). — Moscow: Nauka, 1988. — 311 p. [in Russian].
 5. Makhutov N. A. Konstruktionsnaya prochnost', resurs i tekhnogennaya bezopasnost' [Structural strength, resources and technogenic safety]. In 2 parts — Novosibirsk: Nauka, 2005. Part 1: Kriterii prochnosti i resursa [Criteria for strength and resource]. — 494 p. Part 2: Obozrenie resursa i bezopasnosti [Satisfication of resource and safety]. — 610 p. [in Russian].

УДК 620.169.1:620.17:621.773.9

СТАТИЧЕСКАЯ, ДИНАМИЧЕСКАЯ И ЦИКЛИЧЕСКАЯ ПРОЧНОСТЬ МЕТАЛЛА ШПИЛЕК КРУПНЫХ ГИДРОАГРЕГАТОВ¹

© В. М. Матюнин², Б. М. Орахелашвили², А. Ю. Марченков²,
А. Г. Казанцев³, М. Ж. Каходзе³, К. А. Соин³

Статья поступила 16 декабря 2014 г.

Исследованы микроструктура и механические свойства металла шпилек (сталь 40Х) М90×4 для крепления крышек крупных гидроагрегатов. Механические свойства определены при статических, динамических и циклических испытаниях образцов, вырезанных из шпильки в продольном и поперечном направлениях и на разном удалении от поверхности. Выявлен характер изменения микроструктуры и механических свойств по поперечному сечению шпильки. Проведены статические и циклические испытания модельных и натуральных шпилек вместе с гайками. Определены значения нагрузки и напряжения, при которых происходит цепной срез витков резьбового соединения. Установлено сильное влияние масштабного фактора на долговечность шпилек при циклических испытаниях.

Ключевые слова: механические свойства; микроструктура; прочность; динамическая трещиностойкость; долговечность; масштабный эффект.

Крепеж, например, в виде шпилек, болтов, гаек, предназначенный для крепления деталей различных конструкций и машин, занимает важное место в обеспечении их надежной и долговечной эксплуатации. Особую актуальность эта проблема приобрела после случившейся в 2009 г. аварии на Саяно-Шушенской ГЭС, где при разрушении шпилек была сорвана крышка гидроагрегата № 2. Согласно экспертизе, выполненной ОАО «ЦНИИТМАШ», было установлено, что разрушенные шпильки М80 были изготовлены из углеродистой стали 35, а их излом имел характер усталостного разрушения.

При изготовлении новых 10 гидроагрегатов для Саяно-Шушенской ГЭС для шпилек была выбрана легированная сталь 40Х, а их диаметр увеличен с 80 до 90 мм. Конструктивное отличие новых шпилек состояло не только в больших размерах, но и в наличии сквозного осевого отверстия диаметром 20 мм, предназначенного для контроля их затяга.

В данной работе приведены результаты механических испытаний металла шпилек М90 из стали 40Х при статическом, динамическом и циклическом нагружениях. Основное внимание удалено выявлению характера распределения микроструктуры и механических свойств по поперечному сечению шпильки, стендовым испытаниям натурных шпилек на статическую и циклическую прочность, масштабному фактору, влияющему на долговечность и сопротивление шпилек разрушению.

На рис. 1 представлена схема новой шпильки М90×4.

Спектральный анализ показал, что материал шпильки — сталь 40Х, а гайки — сталь 35. Из одной шпильки вырезали заготовки в продольном и поперечном направлениях, а также на разном удалении от ее поверхности. Из заготовок изготавливали образцы для испытаний на растяжение, ударную вязкость и усталость, а также микрошлифы для проведения металлографического анализа. Цилиндрические пятикратные образцы диаметром 5 мм для испытаний на растяжение соответствовали ГОСТ 1497-84 (тип III). Образцы для испытаний на ударную вязкость с острым надрезом вида V соответствовали ГОСТ 9454-78,

¹ Работа выполнена за счет средств гранта Российского научного фонда № 15-19-00166.

² Национальный исследовательский университет «Московский энергетический институт», Москва, Россия;
e-mail: MatiuninVM@mpei.ru

³ ОАО НПО «ЦНИИТМАШ», Москва, Россия.